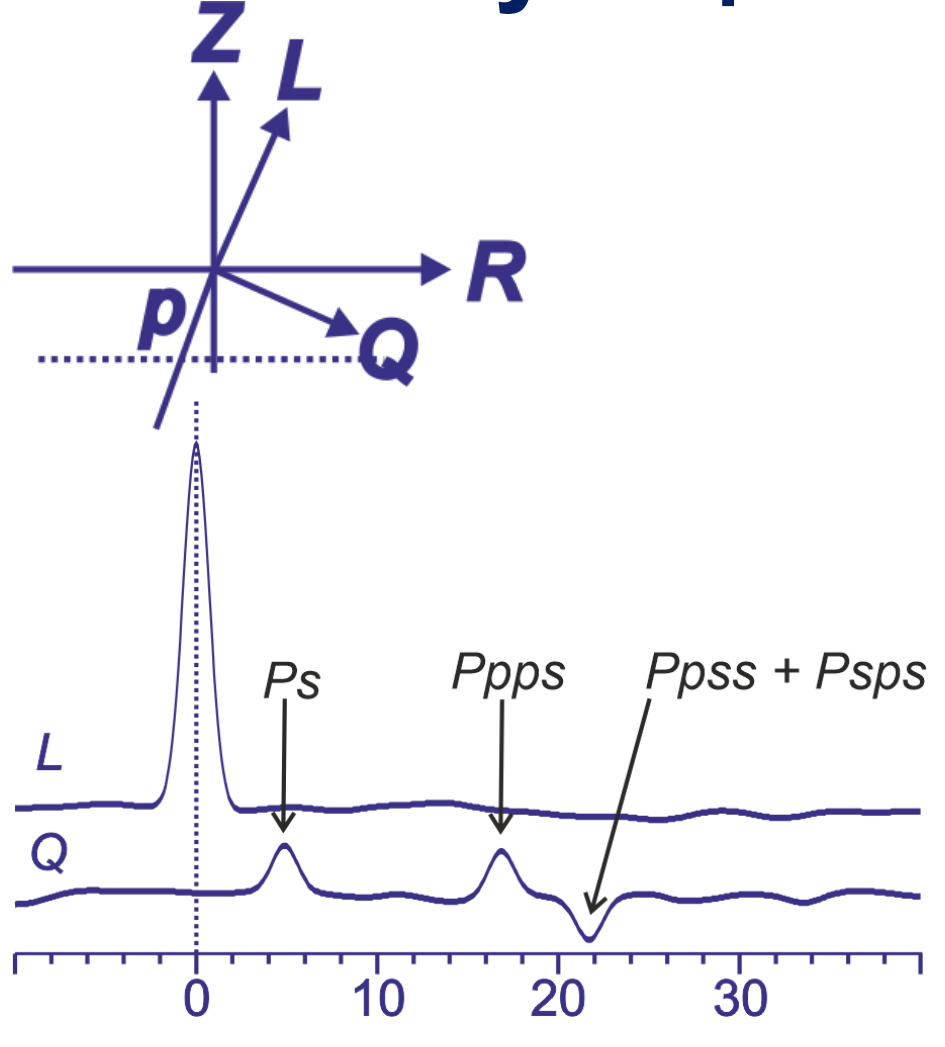


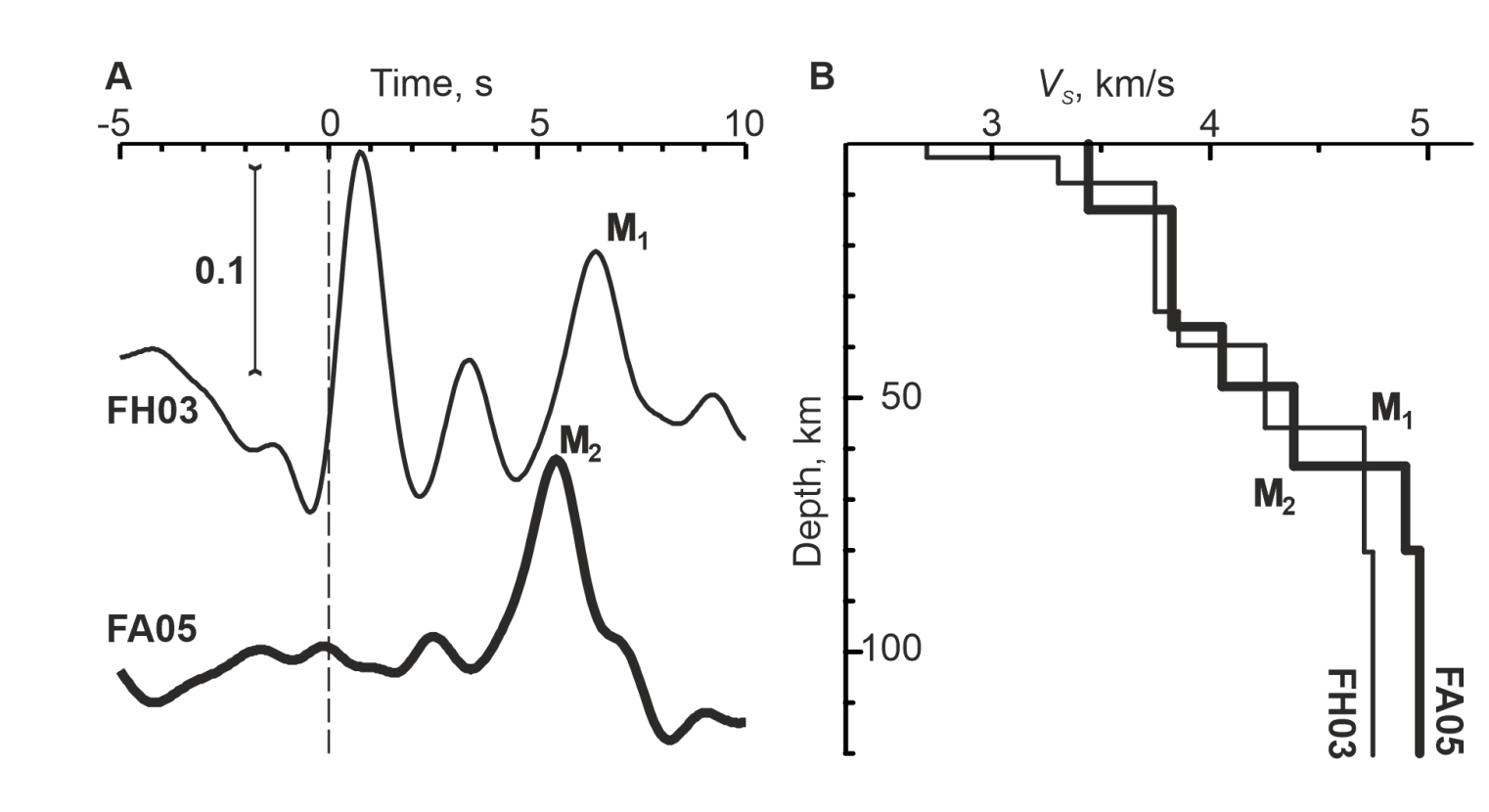
Петрофизика приповерхностных пород, выведенная из приёмных функций

И.М. Алёшин

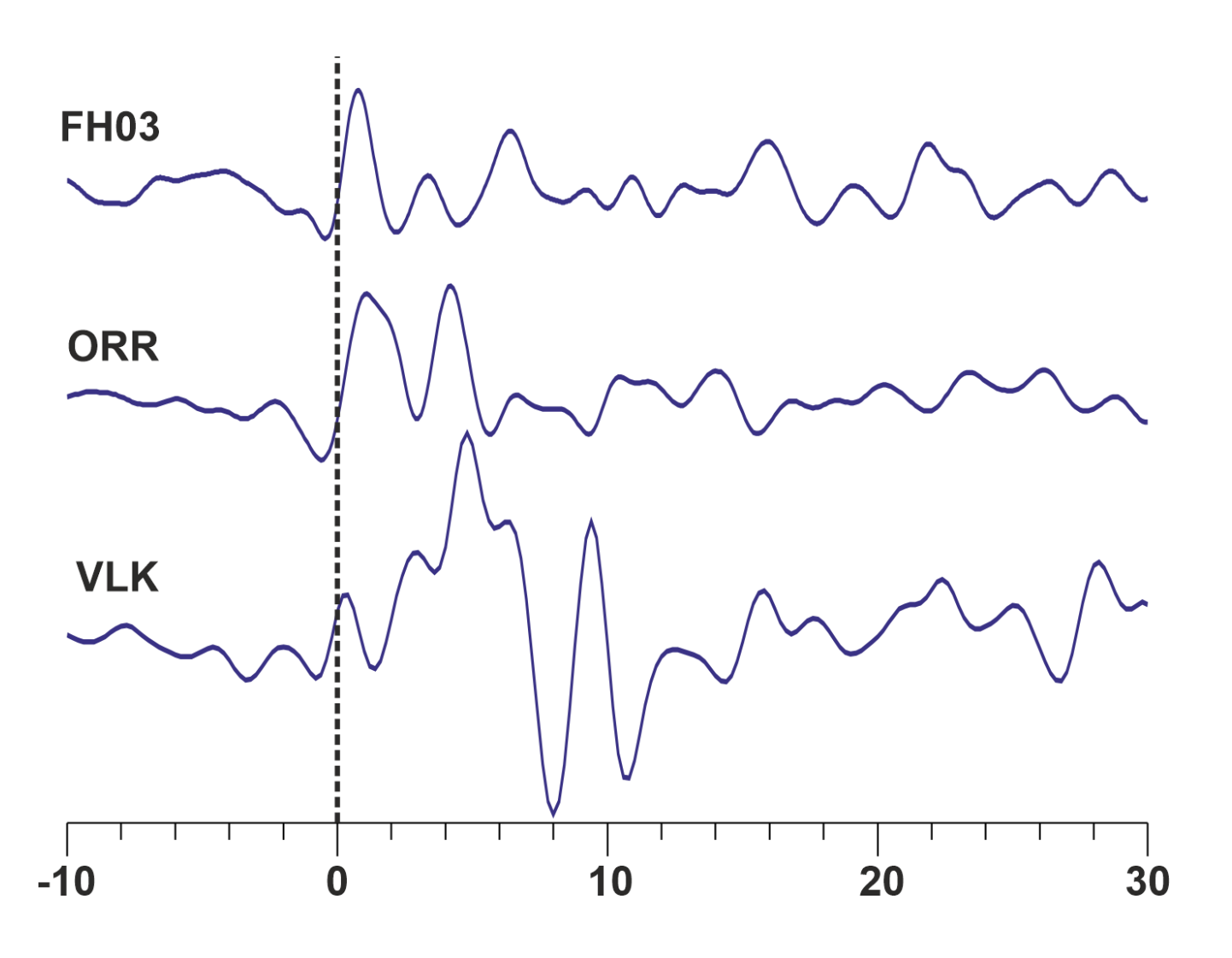
Современные методы оценки сейсмической опасности и прогноза землетрясений. 22 - 23 октября 2025 г. Москва

Функция приёмника / Receiver Function







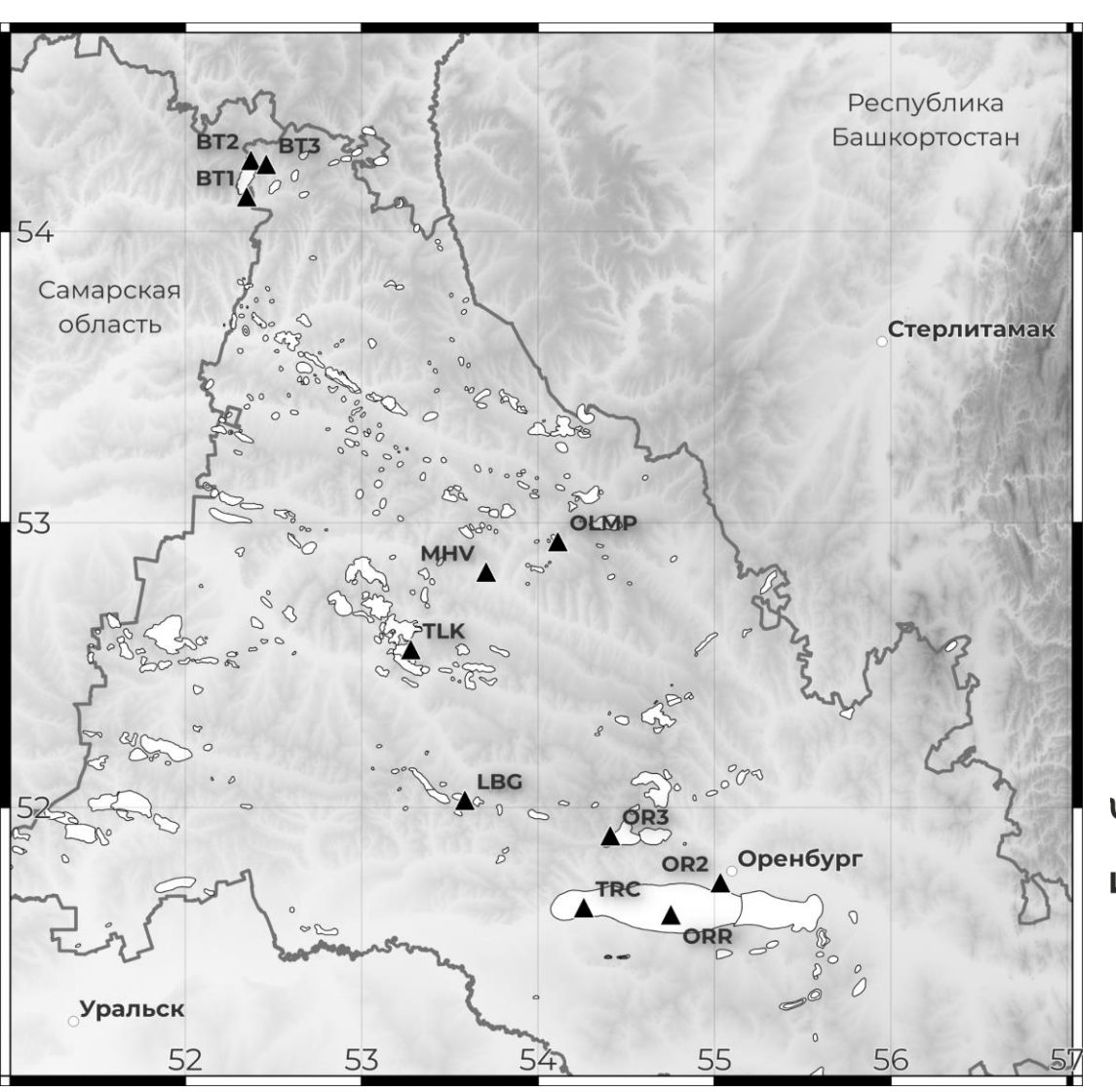


Методы петрофизического моделирования

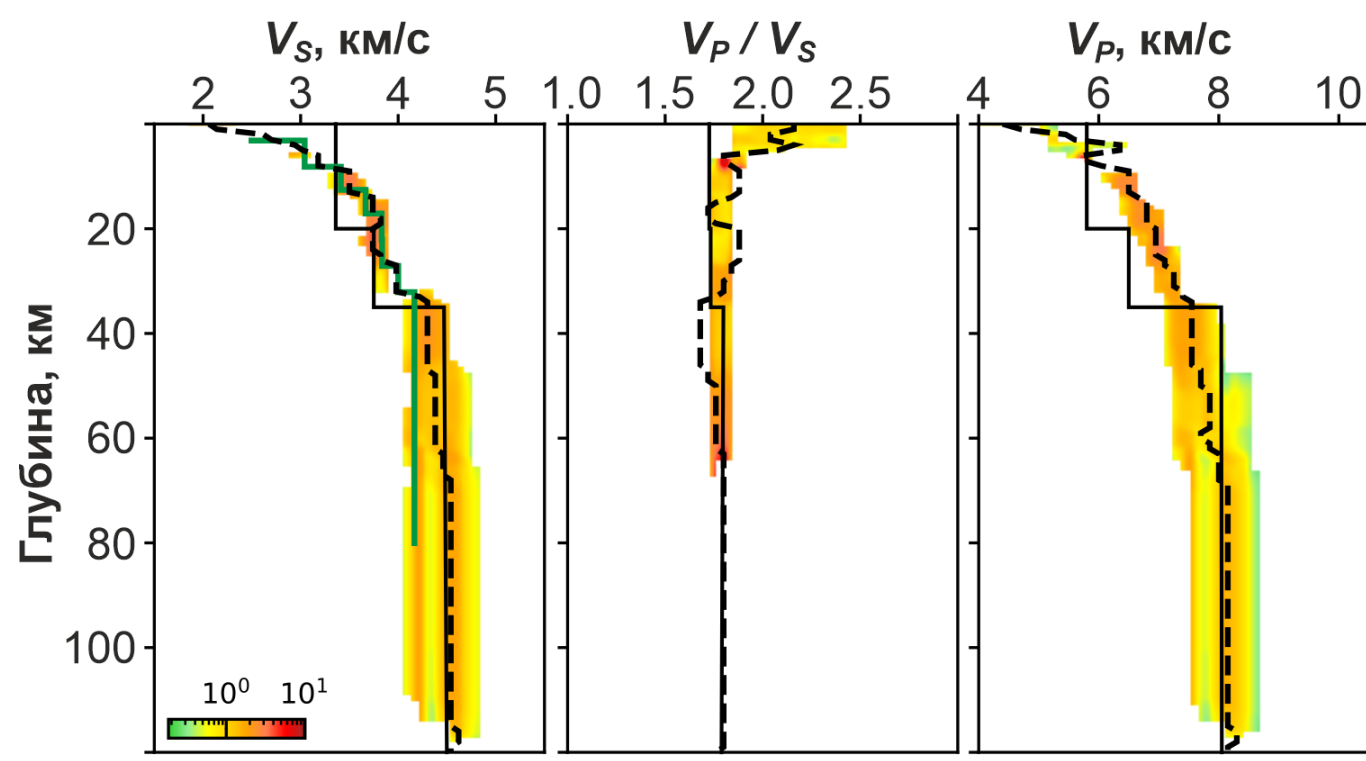
- Метод самосогласования Берримана

 Berryman J.G. Long-wavelength propagation in composite elastic media I Spherical inclusions, II Ellipsoidal inclusions // The Journal of the Acoustical Society of America, 1980, V.68, issue 6, pp. 1820–1831
- Метод Хадсона
- Метод Гассмана

Оренбург (ORR)

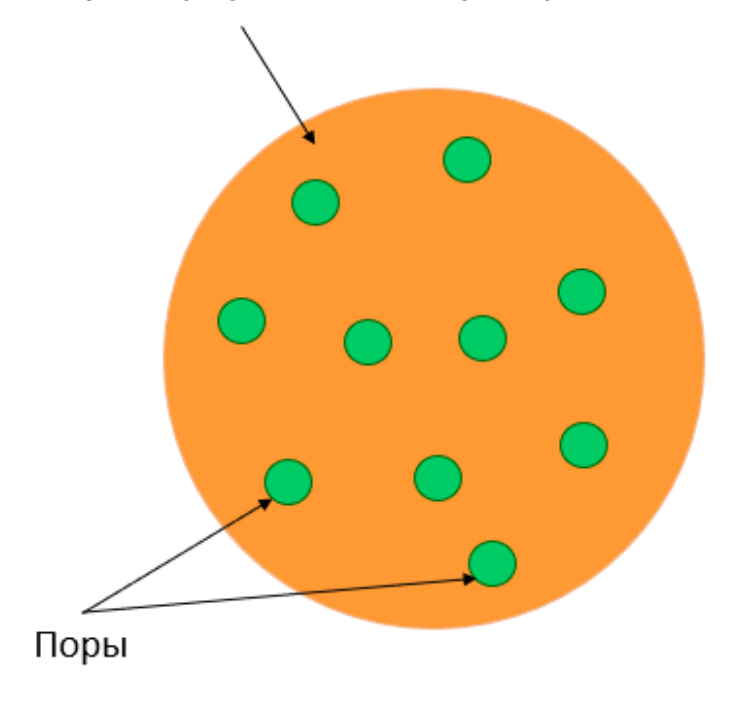


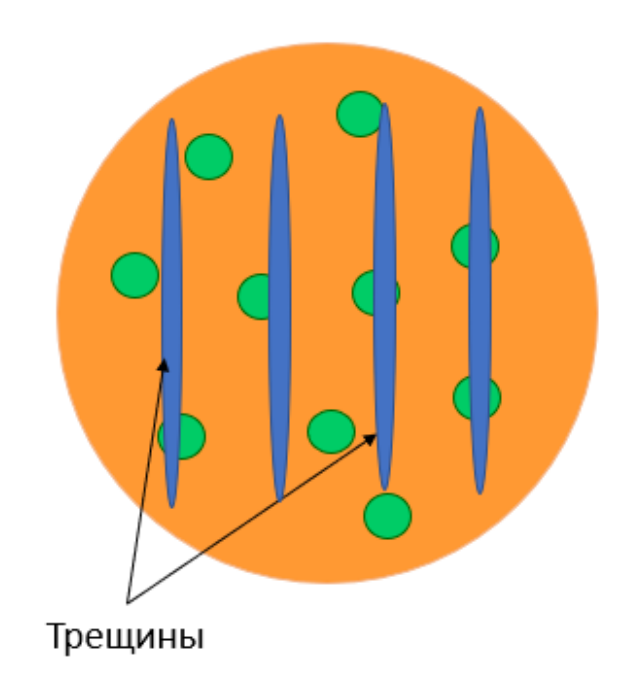
RF $V_P = 5.9 \text{ км/c}; \ V_S = 2.6 \text{ км/c}$ $V_P/V_S = 2.2$



Оренбург (ORR)

Матрица (карбонатная порода)





RF

 $V_P = 5.9$ км/с; $V_S = 2.6$ км/с $V_P/V_S = 2.1$

Матрица (кальцит):

 $V_{\rm P} = 6.54$ км/с; $V_{\rm S} = 3.35$ км/с; $\rho = 2.7$ г/см³ Пористость - 10%

Флюид (газоконденсат):

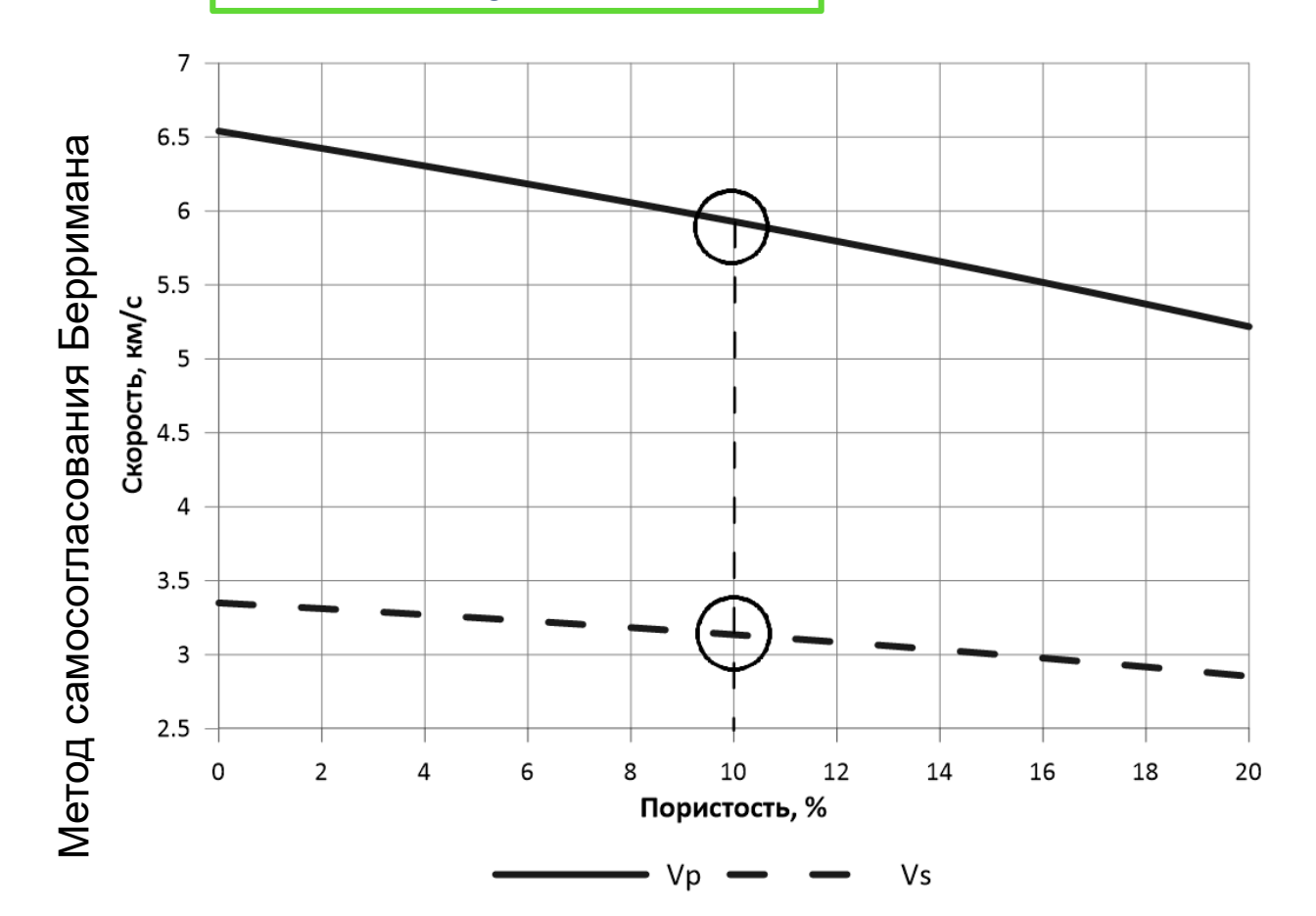
 $V_{\rm P} = 0.2$ км/с; $\rho = 0.65$ г/см³

Метод Хадсона + метод Гассмана

Оренбург (ORR)

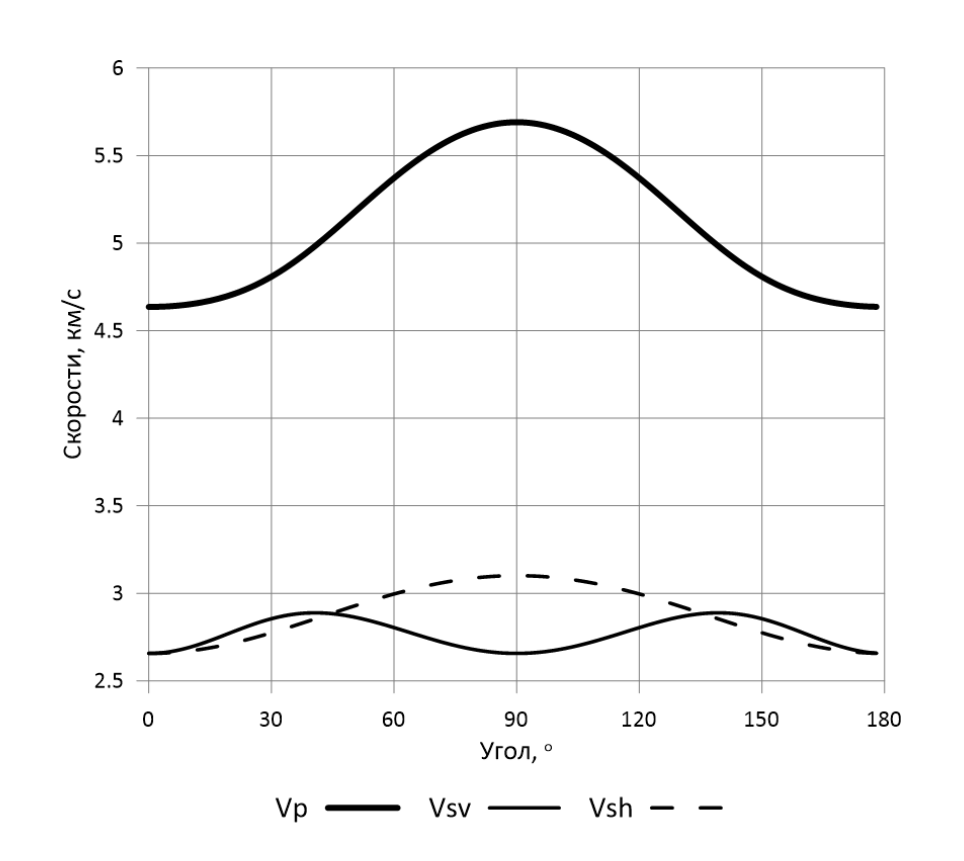
Моделирование

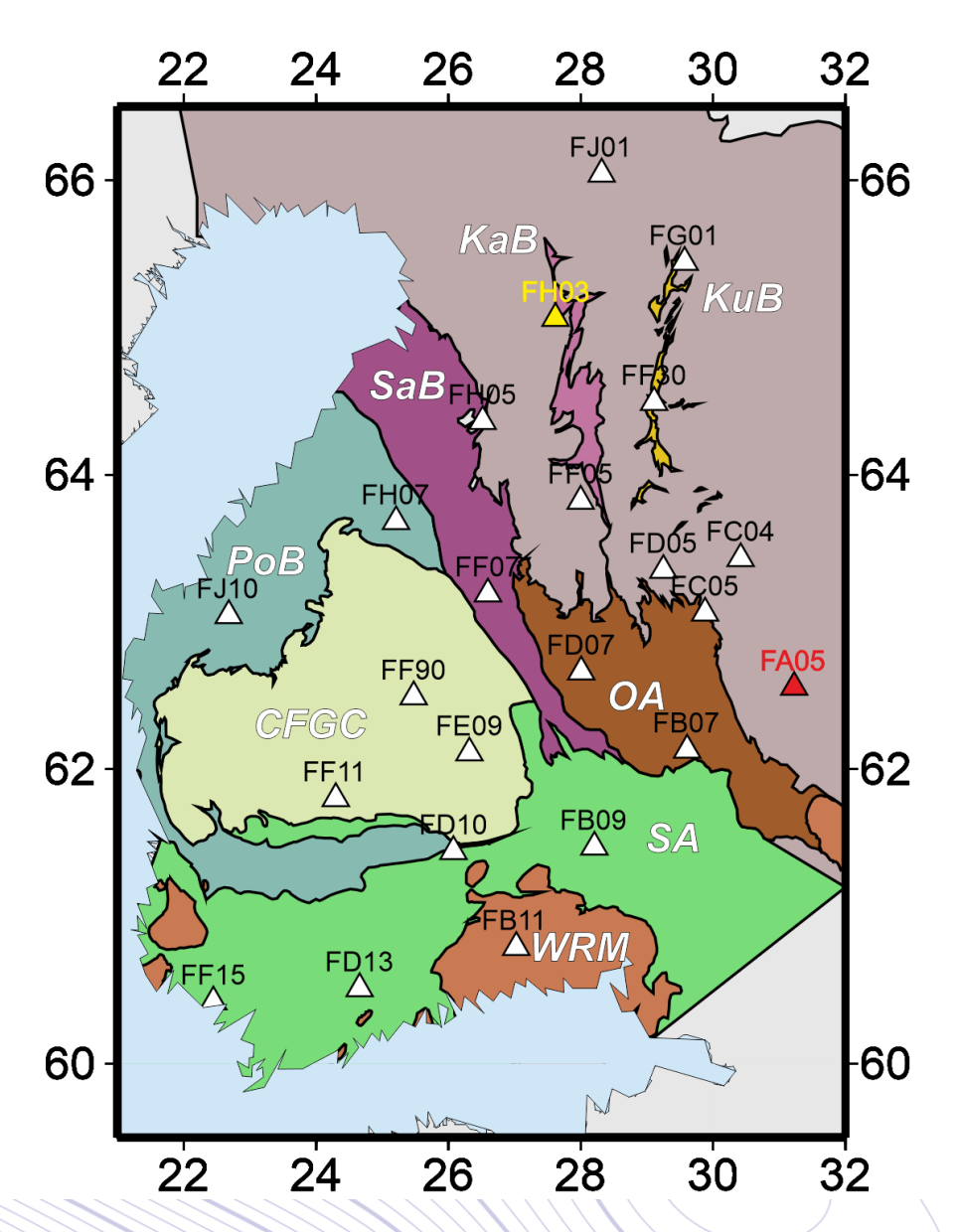
 $V_P = 5.8 \text{ km/c}; \ V_S = 2.6 \text{ km/c}$ $V_P/V_S = 2.18$

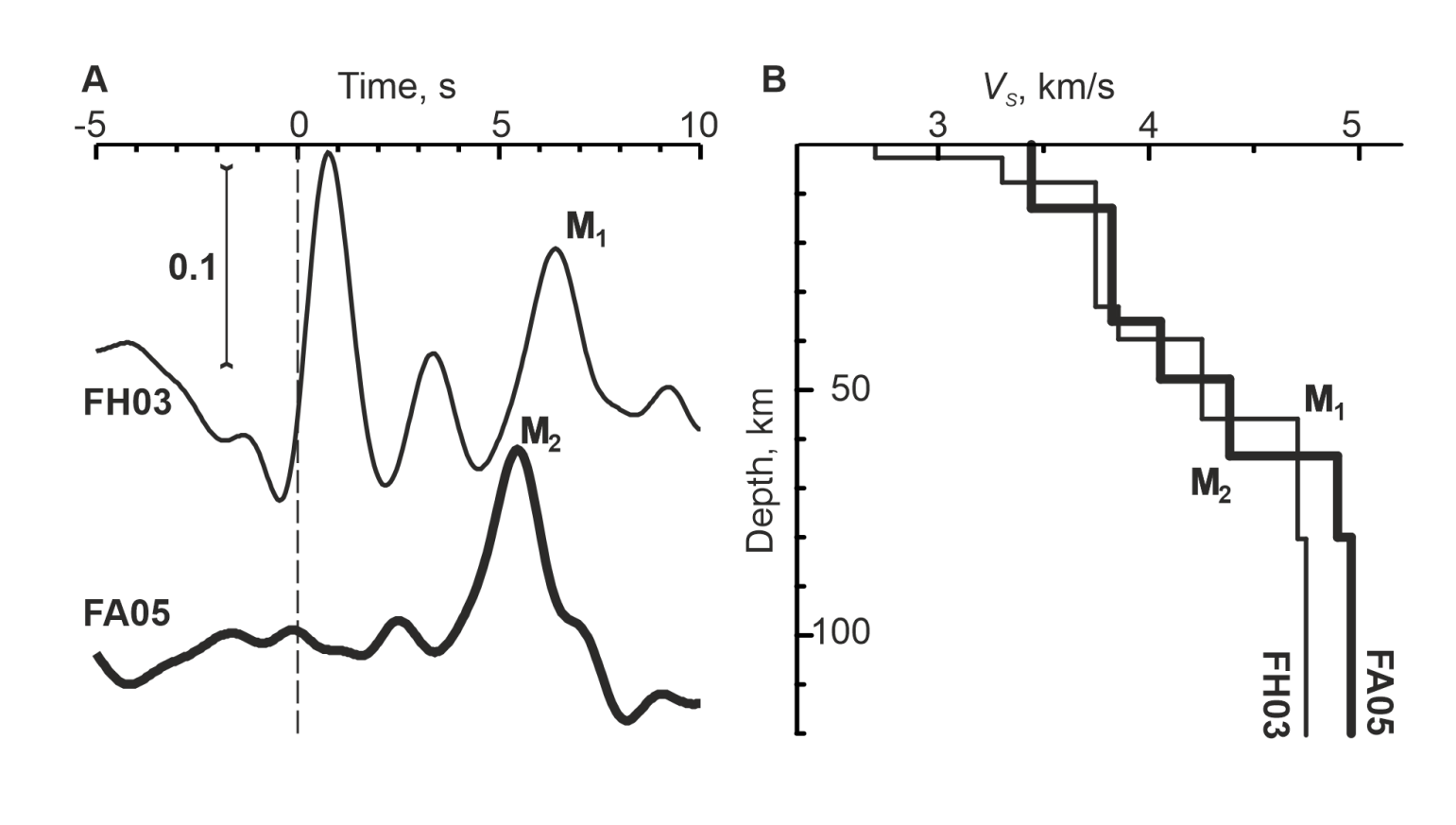


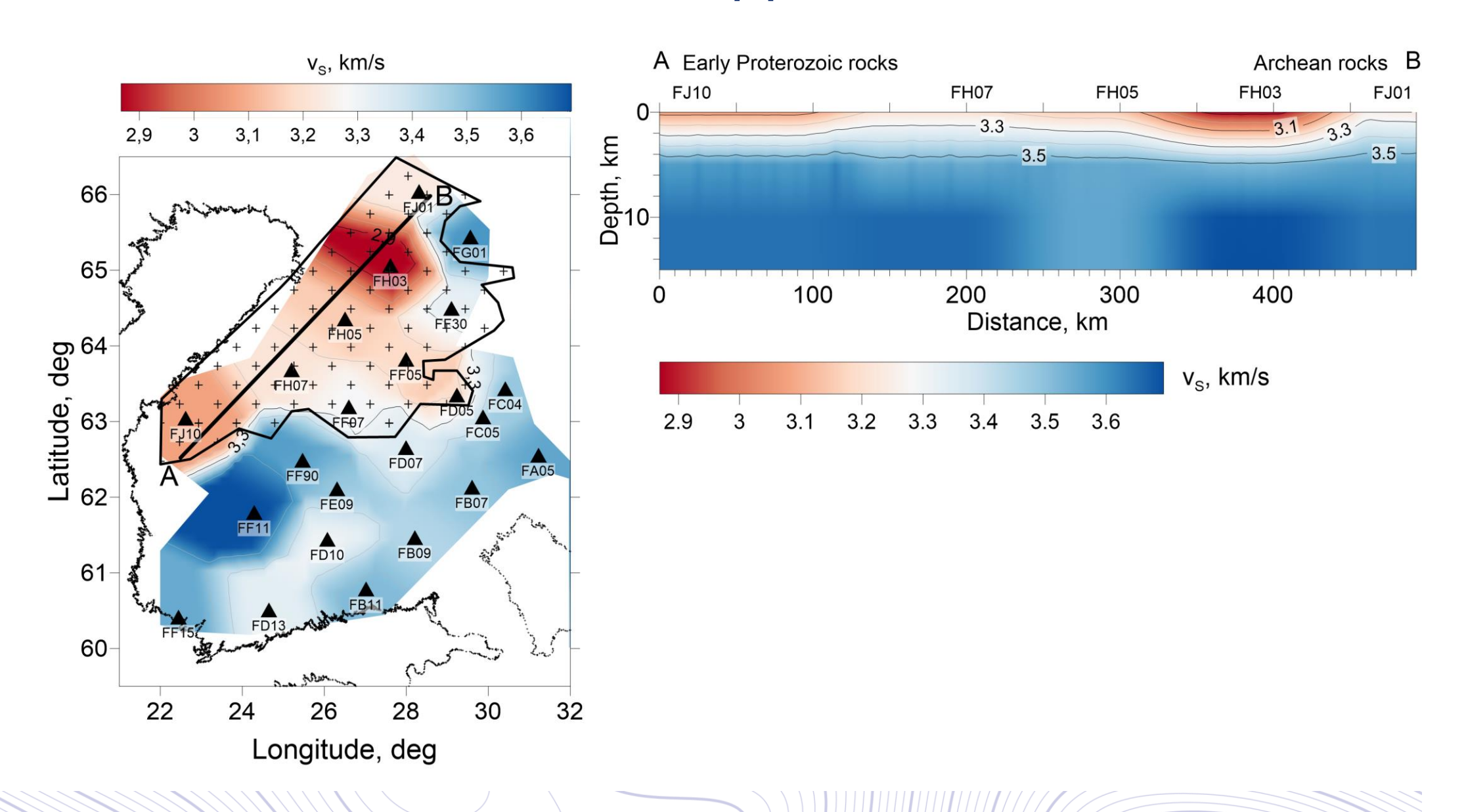
RF

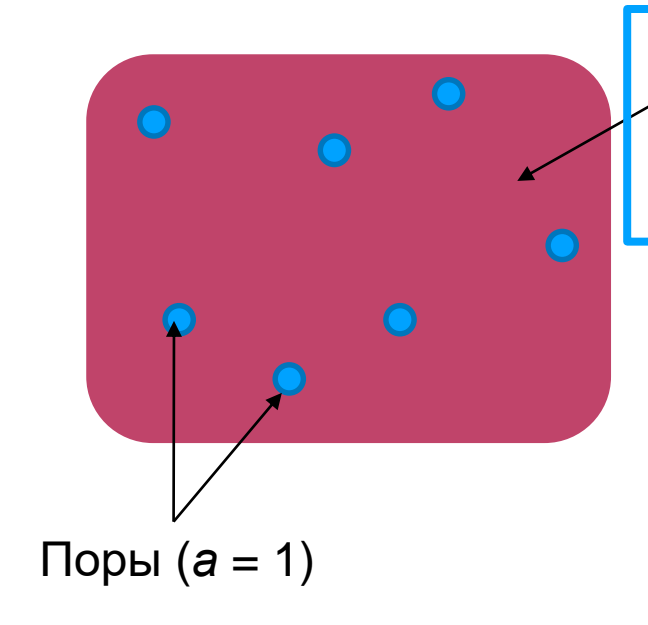
 $V_P = 5.9 \text{ km/c}; \ V_S = 2.6 \text{ km/c}$ $V_P/V_S = 2.2$





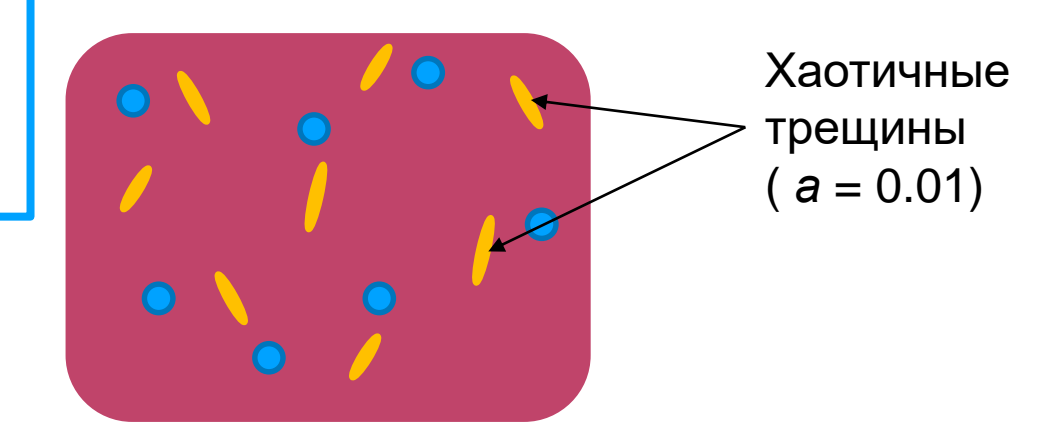






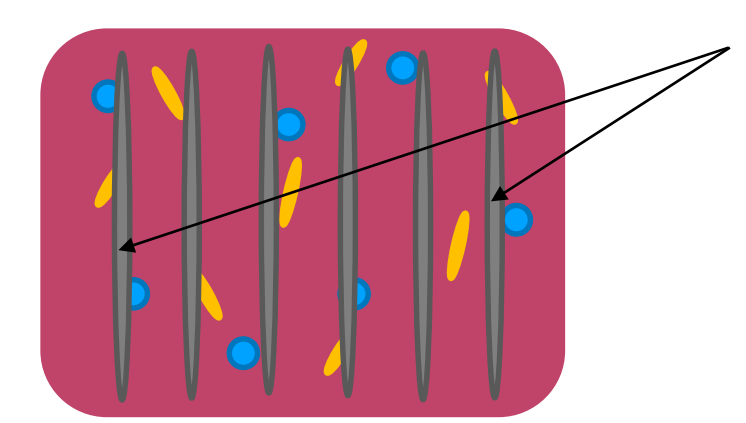
Матрица

 $\mathcal{N}_{P} = 6.2 \text{ км/c}; \ V_{S} = 3.4 \text{ км/c}; \ \rho = 2.7 \text{ г/см}^{3}$



Флюид (Вода):

 $V_{\rm P} = 1.5 \; {\rm KM/c}; \; \rho = 1.1 \; {\rm \Gamma/cm^3}$



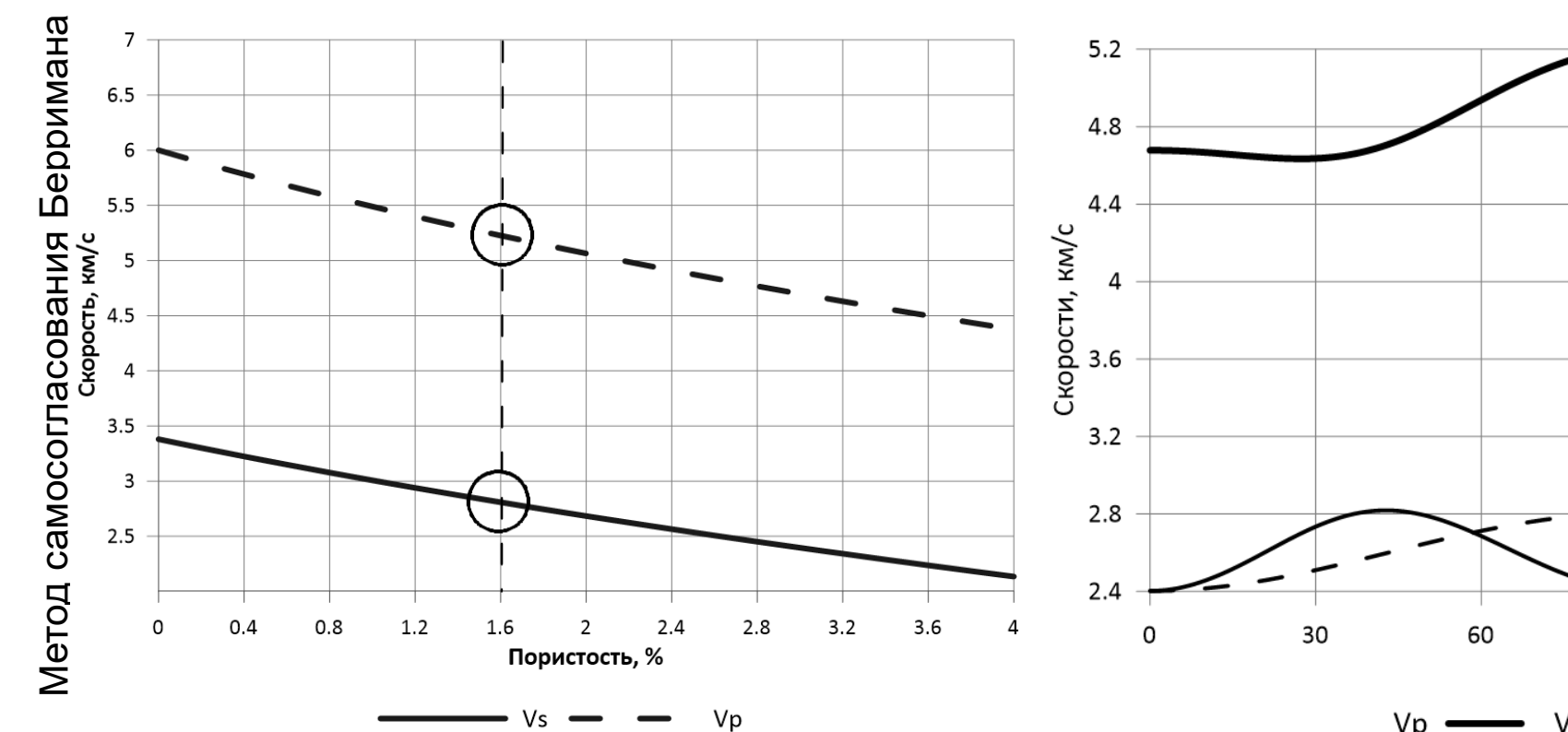
Система ориентированных трещин (a = 0.001)

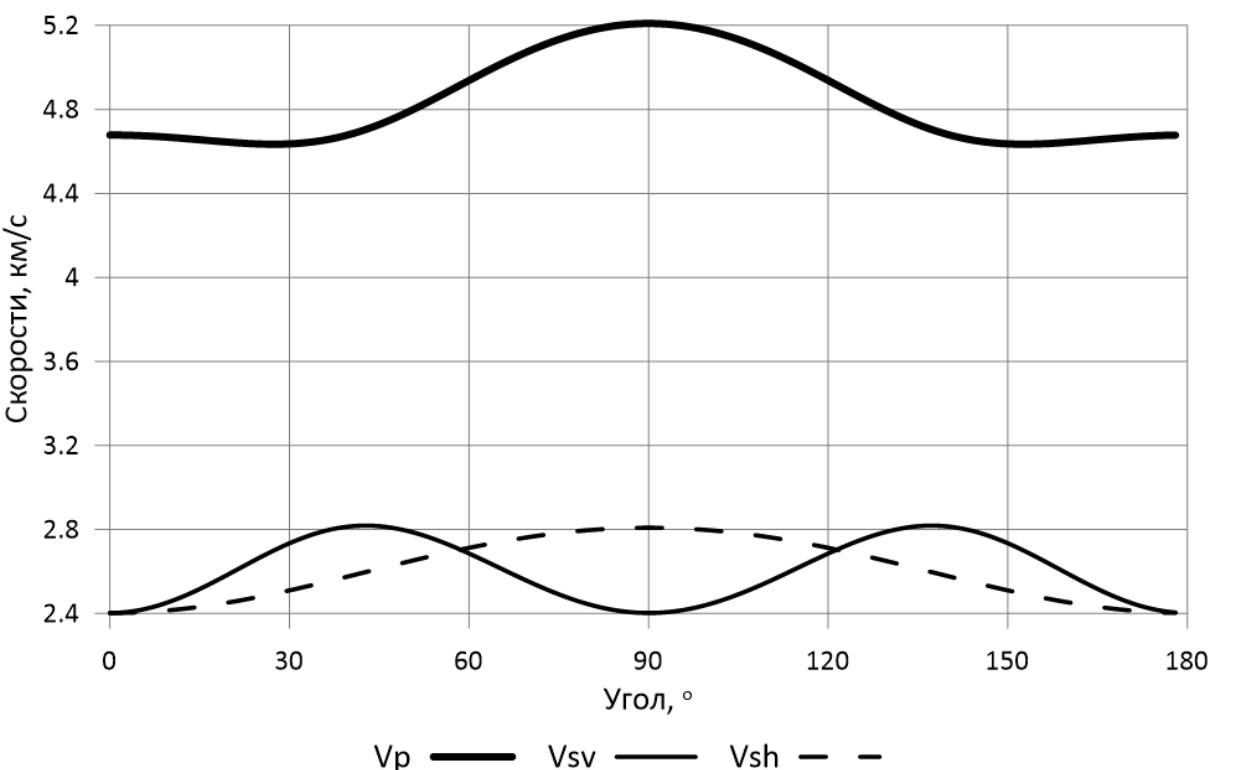
Моделирование

 $V_P = 5.2 \text{ KM/c}; \ V_S = 2.4 \text{ KM/c}$ $V_P/V_S = 2.1$

RF

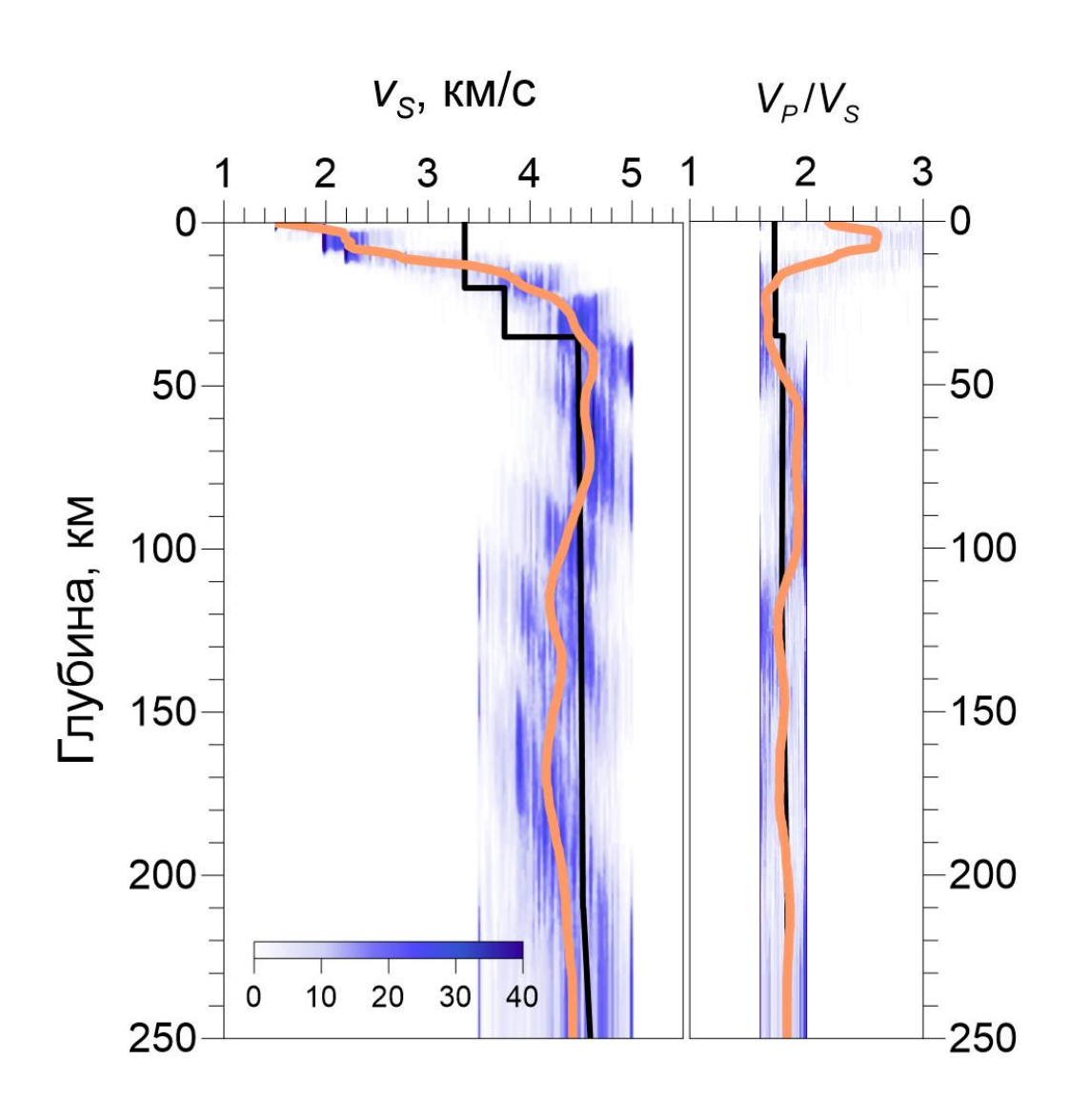
 $V_P = 5.1 \text{ km/c}; \ V_S = 2.5 \text{ km/c}$ $V_P/V_S = 2.1$





Метод Хадсона + метод Гассмана

Владикавказ





Спасибо за внимание!